

愛媛大学工学部 正員 神沼忠男
愛媛大学大学院 学生員 ○伊福 誠

1. まえがき

瀬戸内海は、自然的・地理的条件に恵まれ、古くから海と交通の要路として重要視され、また、産業や経済の著しい発達にもよる、沿岸領域は著しく拡張されてきた。愛媛県内をみると、東中予では、臨海工業地帯が増大し、急速な沿岸環境の変化により、海洋・大気汚染が政治的問題となり、また、南予では海洋開発への一途をたどっているのが現状である。

この研究は、こうした愛媛県下の沿岸における現状を把握するための第一歩として、伊予灘沿岸における波浪の屈折特性を調べようとしたものである。

対象とした領域は図-1に示す越智郡波方町から喜多郡長浜町にいたるほぼ100 kmのところがある。

2. $h/L < 1/2$ および $1/4$ に基づく得た屈折係数 (K_r)₂ と (K_r)₄ との比較

現在、水深波長比 h/L (h : 水深, L : 波長) に関して、 $h/L \geq 1/2$ の場合深海波、 $h/L < 1/2$ の場合浅海波のように分類されている。この分類は、次のような判断によって与えられている。

一般に、波速 C は

$$C = \sqrt{\frac{gL}{2\pi} \tanh \frac{2\pi h}{L}} \quad (1)$$

ここで、 g : 重力加速度、によって表わされる。

式(1)中の $\tanh(2\pi h/L)$ は、 $h/L = 0$ のとき 0、 $h/L \rightarrow \infty$ のとき 1 となり、 $h/L = 1/2$ とすると 0.9963 という値をもつ(図-2)。 $h/L \rightarrow \infty$ のときの C を C_0 とすれば、深海波の波速 C は

$$C_0 \geq C \geq 0.9963 C_0 \quad (2)$$

の範囲にあることになる。双曲線 tangent 関数のこうした近似によれば波速の誤差は $h/L = 1/2$ の場合、たかだか 0.37% である。Kinsman (1965) によればこの数値は理論上のもので、現在実施されている波浪の観測精度からみれば、ほとんど意味がなく、もし深海波と浅海波を $h/L = 1/4$ と分類するものと定義すれば

$$C_0 \geq C \geq 0.9172 C_0 \quad (3)$$

となり、約 8% の精度で近似することになる。こうしたことから、ここでは2者の定義に基づいて屈折図を作成し、伊予灘沿岸における波浪の収束および発散を調べると同時に、屈折係数を比較検討して、屈折図作成上の簡便さを見出そうとする。

(1) N, NNW, NW, WNW, W の5方向から周期 10 sec および 8 sec の波が接近する場合の等深線が 20 m までの屈折図を作成した。用いた海図は海図番号 No. 164 の等深線間隔は 30 m 以深は 10 m 間隔、30 m 以浅は 5 m 間隔、波向線は 1 km 間隔、本数 18 ~ 29 本である。屈折図から屈折係数 $K_r (\equiv \sqrt{b_0/b})$ 、ここで、 b_0 : 深海波の

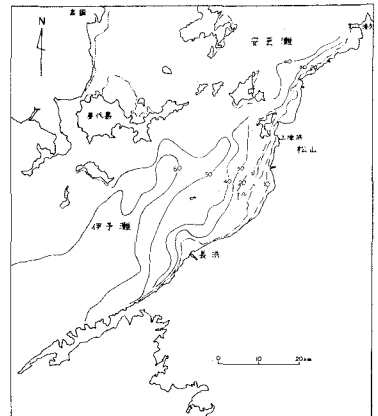


図-1 伊予灘沿岸付付図

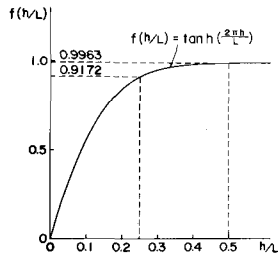


図-2 $\tanh(2\pi h/L)$

左向線間隔 (1 km), b : 水深 20 m の地盤における波向線間隔) を求め, $h/L < 1/2$ および $1/4$ の両者によって求めた K_r の値を比較した。その結果, 解析した 10 ケースのうち 8 ケースは, $(K_r)_{1/2}$ の値のほうが $(K_r)_{1/4}$ の値のそれよりも大きいことわかった。なお, 表-1 は,

$(K_r)_{1/4} = (K_r)_{1/2} + \delta_1$ (%), $(K_r)_{1/2} - \delta_2$ (%) を求めた δ_1, δ_2 を示したものでこの表をみると周期 10 sec の δ_1, δ_2 が周期 8 sec のそれより大きいことがわかる。以上のことは屈折倒作製のための操作回数が増えが子回があることに対し前者が 5 回と回数が多いことによつて生じた作製誤差によるものと思われる。これは, N, NNW, NW, WNW, W の 5 方向のうち 3 方向について, 1 回だけ作製したもので, 波向線は 1 km 間隔がある。

(2) WNW の方向から接近する周期 8 sec の波について同一の操作を $h/L < 1/2$ の場合には 27 本, $h/L < 1/4$ の場合には 30 本の波向線に関して 5 回繰り返した。表-2 は $h/L < 1/2$ の場合, 各水深ごとの K_r の平均値と分散を示したものである。この長をみると, $h/L = 1/2$ の地盤から屈折し始めた波が $h/L = 1/4$ (水深 25 m) の地盤でも K_r の平均値は 0.994 ~ 0.998 であり, 深さごとの屈折係数 1.00 と比較するとたかだか 0.6% 減少しているにすぎない。このことは, 水深 25 m 以上の波速比 (浅い所の波速に対する深い所の波速の比) が 1.024 ~ 1.027 がありほとんど 1.00 に等しいということによつて生ずるものと考える。表-3 は $(K_r)_{1/2}$ および $(K_r)_{1/4}$ の相対誤差と操作回数との関係を示したものである。この長から, 屈折倒作製のための操作回数が多いほど屈折係数の相対誤差が小さくなることわかれる。以上のことから, 伊予灘沿岸の屈折特性を調べる場合, 浅海領域を $h/L < 1/4$ と定義して屈折倒作製してもよいかと考える。

3. 伊予灘沿岸における波長の屈折特性

上記の判断により, 水深波長比が $1/4$ 以下の領域に周期 6 sec および 4 sec の波について検討してみた。なお, この領域は 6 sec の場合には 15 m 以浅, 4 sec の場合には 10 m 以浅の領域にある。

用いた海図は海図番号 No. 141 と 164 で, 拡大器によつて縮尺 $1/2500$ に拡大した。等深線間隔は 10 m 以深が 5 m 間隔, 10 m 以浅は 2 m 間隔, 波向線は 250 m 間隔, 本数 127 ~ 230 本である。波向線上, 水深 15 m, 10 m, 8 m, 6 m, 4 m, 2 m の地盤ごとの屈折係数 K_r および浅水係数 K_s を求め, K_r および $K_r K_s$ コンターを作製した。さらに, この沿岸における一般的傾向をみるために, 同一周期, 同一波向に対して各水深ごとの K_r および $K_r K_s$ の頻度分布を求めた。図-3 は, 波向 WNW, 周期 4 sec の波についてのヒストグラムである。屈折係数は 1.00 の頻度が大きく, 0.7 ~ 1.1 までの範囲にばらついている。またこの傾向は, 他の 4 方向から接近する波についても見られる。周期 6 sec の場合, N, NNW, NW, WNW, W から接近する波について屈折係数は水深 6 m までは 1.00 の頻度が大きい, 4 m, 2 m ではこの傾向は顕著でなく, 0.6 ~ 1.3 の範囲にばらついている。

以上, 屈折および浅水効果を考慮して, 浅海領域における波浪の変形を調べたが, さらに, 海底摩擦や伊予灘および公平群に存在する島礁による回折効果をも考慮して波浪の変形を調べたい。

表-1 δ_1, δ_2

Wave direction	Wave period (sec)	δ_1 (%)	δ_2 (%)	Wave period (sec)	δ_1 (%)	δ_2 (%)
N	10	*	*	8	14	6
NNW	10	7	5	8	8	3
NW	10	9	6	8	5	4
WNW	10	12	10	8	3	2
W	10	10	9	8	4	3

(Note) * はばらつきが大きい

表-2 $(K_r)_{1/2}$ の各水深ごとの平均値と分散 (5 回)

Data No.	30 m		25 m		20 m		10 m	
	K_r	Variance	K_r	Variance	K_r	Variance	K_r	Variance
II-1	0.999	0.8x10 ⁻⁴	0.996	22.1x10 ⁻⁴	0.995	49.7x10 ⁻⁴	0.996	101.0x10 ⁻⁴
II-2	0.997	0.1x10 ⁻⁴	0.998	16.0x10 ⁻⁴	0.996	50.0x10 ⁻⁴	1.000	92.4x10 ⁻⁴
II-3	0.995	0.4x10 ⁻⁴	0.995	10.2x10 ⁻⁴	0.995	38.3x10 ⁻⁴	0.997	82.3x10 ⁻⁴
II-4	0.997	0.3x10 ⁻⁴	0.996	17.0x10 ⁻⁴	0.995	45.9x10 ⁻⁴	0.997	94.6x10 ⁻⁴
II-5	0.997	0.4x10 ⁻⁴	0.994	11.2x10 ⁻⁴	0.996	32.4x10 ⁻⁴	0.997	66.2x10 ⁻⁴

表-3 $(K_r)_{1/2}$ および $(K_r)_{1/4}$ の相対誤差と操作回数

Data No.	Relative error (%)			
	1	2	3	4
IV-1	1.63	3.14		
IV-2	1.66	3.05		
IV-3	1.28	2.65		
IV-4	1.82	3.63		
IV-5	1.53	2.22		
II-1	0.99	4.09	7.08	10.09
II-2	1.03	4.01	7.01	9.61
II-3	0.62	3.02	6.22	9.12
II-4	0.58	4.14	6.81	9.75
II-5	0.65	3.37	5.72	8.16

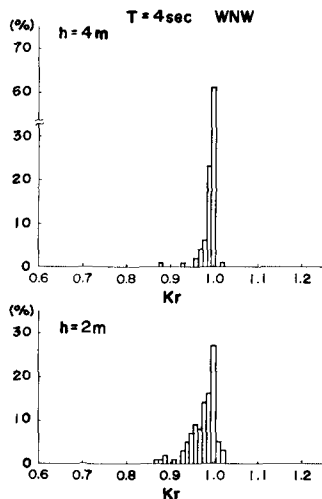


図-4 K_r の頻度分布 (WNW, 4 sec)